

نمودار ورونوی دایره‌ها در فضای هذلولوی

زهرا نیلفروشانⁱ؛ علی محدثⁱⁱ؛ مرتضی میر محمد رضاییⁱⁱⁱ

چکیده

در این مقاله به محاسبه مکان روس و معادله یالهای نمودار ورونوی هذلولوی مجموعه‌ای از دایره‌های هذلولوی پرداخته شده است. این دایره‌ها می‌توانند شعاعهای نابرابر داشته و نیز جدا از هم نباشند. فضای هذلولوی حل مسأله، نیم صفحه بالایی پوانکاره است که در این مقاله به عنوان نیم صفحه بالایی مختلط در نظر گرفته و با استفاده از تبدیلی موبیوس آن را به نیم صفحه بالایی مختلط دیگر تبدیل نموده تا مسأله یافتن رأس ورونوی بین سه دایره هذلولوی داده شده، به مسأله‌ای از نوع مکان یابی نقطه تبدیل شود. سرانجام یال ورونوی با استفاده از خم بزیر درجه دو محاسبه می‌شود. بدین ترتیب به طور موضعی برای هر سه دایره و در نتیجه برای کل دایره‌ها مسأله حل می‌شود.

کلمات کلیدی

مجموعه دایره‌های هذلولوی، نمودار ورونوی هذلولوی، یال ورونوی هذلولوی، رأس ورونوی هذلولوی، تبدیل موبیوس، خم بزیر درجه دو

Hyperbolic Voronoi Diagram of Circles

Z. Nilforoushan; A. Mohades; M. M. Rezaii

ABSTRACT

In this paper the positions of vertices and equations of edges of the hyperbolic Voronoi diagram of a hyperbolic circle set on the Poincaré upper half-plane is computed, where the radii of the hyperbolic circles are not necessary equal and disjoint.

The Poincaré upper half-plane is considered as a complex upper half-plane. By using a Möbius transformation this complex upper half-plane is transformed into another complex upper half-plane in order to formulate the problem of finding the position of the hyperbolic Voronoi vertex of three given hyperbolic circles as a point location problem. Finally the equations of edge are computed in a rational quadratic Bézier curve form.

KEYWORDS

Hyperbolic circle set, Hyperbolic Voronoi diagram, Hyperbolic Voronoi edge, Hyperbolic Voronoi vertex, Möbius transformation, Rational quadratic Bézier curve

مفاهیم اساسی در بسیاری از شاخه‌های علوم و گرایشهای مهندسی از جمله هندسه محاسباتی شناخته شده

۱- مقدمه

پس از تعریف اولیه نمودار ورونوی توسط ریاضیدان روسی G. Voronoi و اولین الگوریتم بیان شده توسط دو مرجع [۱۱] و [۳] به ترتیب توسط Okabe و Shamos & Hoey [۱۳]، نمودار ورونوی به عنوان یکی از مراجعی فراگیر شامل انواع نمودار ورونوی، Aurenhammer، مراجعی فراگیر شامل انواع نمودار ورونوی،

ⁱ دانشجوی دکتری دانشگاه صنعتی امیر کبیر، دانشکده علوم ریاضی و کامپیوتر. Email: nilforoushan@aut.ac.ir

ⁱⁱ استادیار دانشگاه صنعتی امیر کبیر، دانشکده علوم ریاضی و کامپیوتر. Email: mohades@aut.ac.ir

ⁱⁱⁱ دانشیار دانشگاه صنعتی امیر کبیر، دانشکده علوم ریاضی و کامپیوتر. Email: mmreza@aut.ac.ir

مشخصات و الگوریتمهای پیاده سازی آنها هستند.

نمودارهای ورونوی اولیه برای مجموعه‌ای از نقاط به طور کامل مطالعه شده اند و هم اکنون تمام خواص آنها در حالت دو بعدی و بعدهای بالاتر شناخته شده است. اگرچه نمودارهای ورونوی دایره‌ها در فضای اقلیدسی دو بعدی مانند نمودارهای ورونوی نقاط گسترش پیدا نکرده اند اما تأثیر بسیار مهمی در کاربردهای گوناگون در علوم و مهندسی دارند ([۲]، [۵] و [۹]). برای نمودارهای ورونوی اقلیدسی دایره‌ها در صفحه الگوریتمی سریع و کارا در [۶] و [۷] توسط Kim & Sugihara آورده شده که تا به حال سریعتر از الگوریتم آنها ارائه نشده است. این الگوریتم در بدترین حالت در زمان $O(n^2)$ اجرا می‌شود که در آن n تعداد دایره‌ها است. در این الگوریتم از نمودار ورونوی مراکز دایره‌ها به عنوان نمودار اولیه استفاده می‌شود. این نمودار، کاربردهای بسیاری از جمله در مسأله بسته بندی کابل دارد [۱۵].

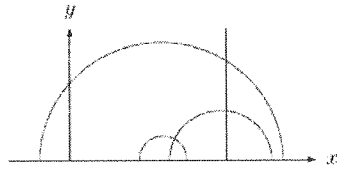
در کنار تمام خواص و کاربردهای نمودار ورونوی مجموعه‌ای از دایره‌ها در فضای اقلیدسی، در پاسخ به این سؤال طبیعی که آیا این نمودار در فضاهای دیگر قابل اجرا است، رویه‌های هذلولوی برای بررسی انتخاب گردید. رویه‌های هذلولوی دارای انحنا منفی هستند. با وجود این که در محیط اطراف، رویه‌های هذلولوی دیده نمی‌شوند، اما بیشتر در طبیعت وجود دارند (مانند برگهای کاهو و یا کرمهای پهن دریایی). یک ایده جالب در مورد صفحه هذلولوی توسط Thurston بیان شده است که با دور شدن از یک نقطه از صفحه هذلولوی، فضای اطراف به طور نمایی گسترش می‌یابد [۱۶]. هندسه هذلولوی کاربردهای فراوانی در ریاضیات، فیزیک و مهندسی دارد. برای نمونه در فیزیک، در پاسخ به پرسش "آیا سرعت توسعه جهان روند کاهشی دارد یا خیر؟" هندسه هذلولوی دقیقترین راهها را مشخص می‌نماید. مطالب جالب یاد شده و بسیاری از ویژگیهای دیگر، دلیل پژوهش حاضر می‌باشد. در [۱۰] نمودار ورونوی مجموعه‌ای از نقاط در مدل هذلولوی دیسک پوآنکاره و در زمان $O(n^2)$ پیاده سازی شده‌اند. در این مقاله به مطالعه نمودار ورونوی مجموعه‌ای از دایره‌های هذلولوی در مدل نیم صفحه بالایی پوآنکاره پرداخته شده است و همه جا از اندیس‌های H و E به ترتیب برای داده‌های هذلولوی و اقلیدسی استفاده گردید. همچنین نمادهای $d(\cdot, \cdot)$ و $d_H(\cdot, \cdot)$ به ترتیب بیانگر فاصله اقلیدسی و فاصله هذلولوی هستند.

۲- مدل نیم صفحه بالایی پوآنکاره

مدل نیم صفحه بالایی پوآنکاره، مدل دو بعدی از فضای هذلولوی است. این مدل با نماد \mathbb{H}^2 نمایش داده و بصورت $\mathbb{H}^2 = \{(x, y) \in \mathbb{R}^2 \mid y > 0\}$ تعریف می‌شود که یک خمینه ریمانی با متریک ریمانی زیر و انحنا -1 است (برای توضیحات بیشتر [۱] و [۲] را ببینید).

$$ds^2 = \frac{dx^2 + dy^2}{y^2} \quad (1)$$

در این فضا، ژئودزیک‌ها دو نمونه اند که هر دو را می‌توان بصورت اشپای اقلیدسی در \mathbb{C} بیان نمود. یکی بصورت اشتراک \mathbb{H}^2 با یک خط اقلیدسی عمود بر محور x در \mathbb{C} و دیگری بصورت اشتراک \mathbb{H}^2 با یک دایره اقلیدسی است که مرکزش روی محور x است (شکل ۱ و [۱] را ببینید).



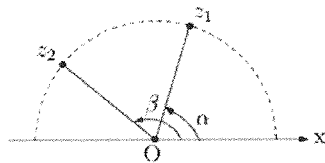
شکل ۱: ژئودزیکهای \mathbb{H}^2 .

فرض کنید $z_1 = (x_1, y_1)$ و $z_2 = (x_2, y_2)$ دو نقطه در \mathbb{H}^2 باشند و $x_1 \neq x_2$. فاصله هذلولوی بین z_1 و z_2 از رابطه (۲) بدست می‌آیند که در آن α و β به ترتیب زاویه‌های بین پاره‌خطهای Oz_1 و Oz_2 با محور x هستند و O مرکز ژئودزیک گذرنده از z_1 و z_2 است (شکل ۲ و [۱۴] را ببینید).

$$d_H(z_1, z_2) = \ln \left| \frac{\csc \beta - \cot \beta}{\csc \alpha - \cot \alpha} \right| \quad (2)$$

اگر $x_1 = x_2$ و $y_1 \leq y_2$ ، آنگاه فاصله هذلولوی بین z_1 و z_2 بصورت رابطه (۳) تعریف می‌شود:

$$d_H(z_1, z_2) = \ln \frac{y_2}{y_1} \quad (3)$$



شکل ۲: فاصله هذلولوی z_1 و z_2 در فرمول (۲).

لم ۱- برای هر دو نقطه مجزای $p, q \in \mathbb{H}^2$ یک ژئودزیک منحصر بفرد گذرنده از آنها وجود دارد.

اثبات: برای اثبات به [۸] مراجعه نمایید. □

تعریف ۱- مکان هندسی تمام نقاط دارای فاصله هذلولوی

$$C_i = (M_{H_i}, r_{H_i}) = (M_{E_i}, r_{E_i}), \quad i = 1, \dots, n \quad (7)$$

به هر دایره C_i ، یک ناحیه ورونوی هندلولوی $V(C_i)$ با رابطه (۸) متناظر می‌گردد:

$$V(C_i) = \{X \in \mathbb{H}^2 \mid d_H(X, C_i) \leq d_H(X, C_j), \forall j \neq i\} \quad (8)$$

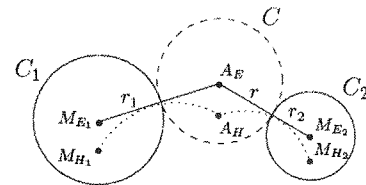
در اینصورت نمودار ورونوی در مدل نیم صفحه بالایی عبارت است از: $VD(P) = \{V(C_1), V(C_2), \dots, V(C_n)\}$ در واقع نوعی افزاز بندی از \mathbb{H}^2 است. رروس نواحی ورونوی هندلولوی، رروس ورونوی هندلولوی، و مرزهای نواحی ورونوی مرزهای ورونوی هندلولوی نام دارند.

۱-۳- نمودار ورونوی دو دایره هندلولوی

در این قسمت به بیان دو روش برای یافتن یال ورونوی هندلولوی بین دو دایره هندلولوی متفاوت پرداخته می‌شود.

۱-۱-۳- استفاده از قضیه ۱

فرض کنید $C_1 = (M_{H_1}, r_{H_1})$ و $C_2 = (M_{H_2}, r_{H_2})$ دو دایره هندلولوی باشند. بنا به قضیه ۱، C_1 و C_2 دو دایره اقلیدسی به ترتیب با مراکز M_{E_1} و M_{E_2} هستند (شکل ۵ را ببینید).



شکل ۵: وضعیت مکانی مرکز هندلولوی و اقلیدسی C در \mathbb{H}^2 .

نقطه‌ای مانند A_E وجود دارد بطوریکه $d(A_E, C_1) = d(A_E, C_2)$ در واقع A_E مرکز اقلیدسی دایره‌ای مانند C است که مماس بر دو دایره C_1 و C_2 است. حال با استفاده از (۴)، یک دایره هندلولوی به مرکز هندلولوی $A_H = (x_H, y_H)$ و شعاع هندلولوی r_H است. بنابراین A_H نقطه‌ای به فاصله هندلولوی یکسان از دو دایره هندلولوی C_1 و C_2 است. در نتیجه لم ۲ بیان می‌شود:

لم ۲- نقطه‌ای مانند A_H وجود دارد که دارای فاصله هندلولوی یکسانی از دو دایره هندلولوی داده شده C_1 و C_2 است.

دلیل این که عمود منصف هندلولوی دو دایره هندلولوی C_1 و C_2 ، مکان هندسی تمام نقاطی است که به فاصله هندلولوی یکسانی از C_1 و C_2 هستند، نتیجه ۱ حاصل می‌گردد: نتیجه ۱- مکان هندسی تمام A_H ها که یال ورونوی هندلولوی بین C_1 و C_2 را تشکیل می‌دهند، عمود منصف هندلولوی بین دو دایره C_1 و C_2 است.

یادآوری ۱- عمود منصف یاد شده در نتیجه ۱ می‌تواند بخشی از یک خط یا یک هندلولوی در \mathbb{H}^2 باشد. این عمود منصف هنگامی بخشی از خط است که دو دایره دارای شعاع مساوی باشند، در غیر اینصورت حالت هندلولوی رخ می‌دهد.

۲-۱-۳- استفاده از عمود منصف هندلولوی

استفاده از عمود منصف هندلولوی راهی دیگر برای یافتن تمام نقاطی است که به فاصله هندلولوی یکسان از دو دایره هندلولوی C_1 و C_2 هستند. به بیان دیگر:

$$d_H(A_H, C_1) = d_H(A_H, C_2) \Leftrightarrow d_H(A_H, M_{H_1}) - r_{H_1} = d_H(A_H, M_{H_2}) - r_{H_2} \quad (9)$$

فرض کنید $A_H = (x, y)$ ، $M_{H_1} = (x_1, y_1)$ و $M_{H_2} = (x_2, y_2)$ فرض کنید α_1 ، β_1 ، α_2 و β_2 به ترتیب زوایای بین محور x با $O_1M_{H_1}$ ، O_1A_H ، $O_2M_{H_2}$ و O_2A_H باشد، در اینصورت:

$$\tan \beta_1 = \frac{2y_1(x-x_1)}{2x_1(x-x_1) - (y^2 - y_1^2) - (x^2 - x_1^2)} \quad (10)$$

$$\tan \beta_2 = \frac{2y_2(x-x_2)}{2x_2(x-x_2) - (y^2 - y_2^2) - (x^2 - x_2^2)} \quad (11)$$

$$\tan \alpha_1 = \frac{2y(x-x_1)}{2x(x-x_1) - (y^2 - y_1^2) - (x^2 - x_1^2)} \quad (12)$$

$$\tan \alpha_2 = \frac{2y_2(x-x_2)}{2x_2(x-x_2) - (y^2 - y_2^2) - (x^2 - x_2^2)} \quad (13)$$

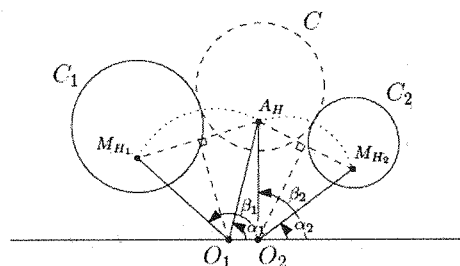
از آنجا که: $d_H(A_H, M_{H_2}) = \ln \frac{\csc \beta_2 - \cot \beta_2}{\csc \alpha_2 - \cot \alpha_2}$ و

$d_H(A_H, M_{H_1}) = \ln \frac{\csc \beta_1 - \cot \beta_1}{\csc \alpha_1 - \cot \alpha_1}$ با جایگذاری روابط ۱۳-

در (۹) و با فرض $r_{H_2} = \ln \rho_2$ و $r_{H_1} = \ln \rho_1$ برخی ρ_1 و ρ_2 ، و با قرار دادن $s = \frac{\rho_2}{\rho_1}$ خواهد شد:

$$s \tan \frac{\beta_1}{2} \tan \frac{\alpha_2}{2} = \tan \frac{\alpha_1}{2} \tan \frac{\beta_2}{2} \quad (14)$$

و این مکان هندسی نقاط مشخص شده در شکل ۶ است.



شکل ۶: مکان هندسی نقاطی که به فاصله هندلولوی یکسان از دو دایره در \mathbb{H}^2 هستند.

قضیه ۳- فرض کنید $\gamma(t)$ یال ورونوی بین دو دایره

$\gamma(t)$ باشد. آنگاه:

$$\frac{y'}{x'} = \tan\left(\frac{\alpha_1 + \beta_2}{2}\right) \quad (17)$$

اثبات: براحتی می‌توان بررسی کرد که

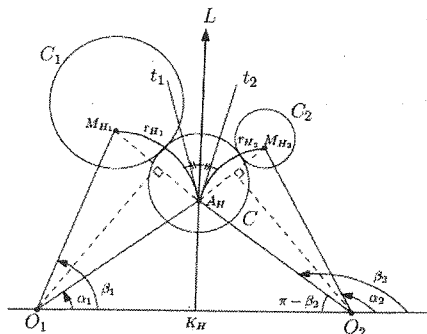
$$\angle O_1 A_H O_2 = \pi - (\pi - \beta_2 + \alpha_1) = \beta_2 - \alpha_1$$

(شکل ۸) و بنابراین $\angle K_H A_H O_2 = \frac{\beta_2 - \alpha_1}{2}$. در نتیجه

$$\angle O_2 K_H A_H = \pi - (\pi - \beta_2 + \frac{\beta_2 - \alpha_1}{2}) = \frac{\beta_2 + \alpha_1}{2}$$

که در آن K_H نقطه تقاطع خط L با محور x است. لذا

$$\square \frac{y'}{x'} = \tan(\angle O_2 K_H A_H) = \tan\left(\frac{\alpha_1 + \beta_2}{2}\right)$$



شکل ۸. شکل مربوط به نتیجه ۲.

یادآوری ۲- از بین چهار زاویه $\alpha_1, \beta_1, \alpha_2, \beta_2$ دو تای آنها مستقل و دو تای دیگر وابسته به آن دو هستند. برای نمونه با استفاده از α_2 و β_2 داده شده می‌توان α_1 و β_1 را بدست آورد. زیرا با معلوم بودن α_2 و β_2 نقطه A_H بدست می‌آید و با فرض اینکه عمود منصف $A_H M_{H_1}$ محور x را در نقطه O_1 قطع کند α_1 و β_1 بدست می‌آیند. بنابراین $\alpha_1 = \alpha_1(\alpha_2, \beta_2)$ و $\beta_1 = \beta_1(\alpha_2, \beta_2)$.

یادآوری ۳- بنا به روابط ۱۲-۱۰، x' و y' بر

حسب $\alpha_1, \beta_1, \alpha_1', \beta_1'$ بدست می‌آیند:

$$\begin{cases} x' = x'(\alpha_1, \beta_1, \alpha_1', \beta_1') \\ y' = y'(\alpha_1, \beta_1, \alpha_1', \beta_1') \end{cases}$$

توجه شود اگر نقطه $A_H = (x(t), y(t))$ روی یال‌های ورونوی تغییر نماید، آنگاه $\alpha_2, \beta_2, \alpha_1, \beta_1$ توابعی از t خواهند بود.

یادآوری ۴- با مشتق‌گیری از (۱۴) بر حسب t ، معادله ۱۸

بدست می‌آید:

$$\alpha_1' \tan \beta_2 + \beta_2' \tan \alpha_1 = s \alpha_2' \tan \beta_1 + s \beta_1' \tan \alpha_2 \quad (18)$$

بنا به نتیجه ۳.

هذلولوی $C_1(M_{H_1}, r_{H_1})$ و $C_2(M_{H_2}, r_{H_2})$ باشد و همانطور که در شکل ۷(a) نمایش داده شده، $r_{H_2} < r_{H_1}$ در اینصورت برای هر نقطه $A_H(x(t), y(t))$ روی $\gamma(t)$ مماس رسم شده از آن نقطه نیمساز زاویه $\angle M_{H_1} A_H M_{H_2}$ است.

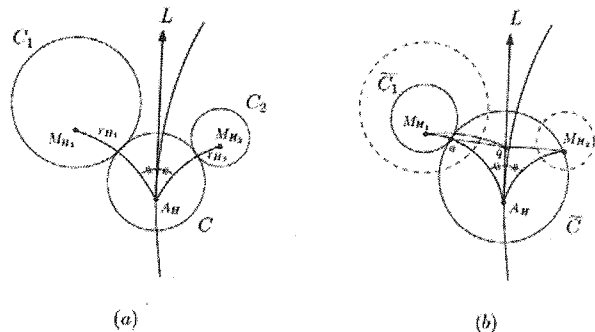
اثبات: فرض کنید $C_1 = (M_{H_1}, r_{H_1})$ و $C_2 = (M_{H_2}, r_{H_2})$ دو دایره هذلولوی باشند بطوریکه $r_{H_2} < r_{H_1}$ (شکل ۷(a)). فرض کنید A_H نقطه‌ای دلخواه از عمود منصف هذلولوی دو دایره و L نیمساز زاویه $\angle M_{H_1} A_H M_{H_2}$ باشد. همچنین فرض کنید \tilde{C}_1 و \tilde{C}_2 به ترتیب همان دایره‌های C_1 و C_2 باشند که از شعاع‌هایشان مقدار $r = r_{H_1} - r_{H_2} > 0$ کم شده است (شکل ۷(b)). در اینصورت \tilde{C}_2 به نقطه M_{H_2} تبدیل می‌شود و رابطه (۱۵) بدست می‌آید:

$$d_H(A_H, M_{H_1}) - d_H(A_H, M_{H_2}) = r \quad (15)$$

فرض کنید q نقطه‌ای دلخواه روی خط L باشد و $q \neq A_H$. چون $d_H(q, a) + d_H(M_{H_1}, a) > d_H(q, M_{H_1})$ و رابطه (۱۶) بدست می‌آید:

$$d_H(q, M_{H_1}) - d_H(q, M_{H_2}) < r \quad (16)$$

زیرا q نمی‌تواند روی عمود منصف هذلولوی واقع باشد و خط L نایستی مماس بر عمود منصف در نقطه A_H باشد. □



شکل ۷: شکل قضیه ۳.

نتیجه ۲- فرض کنید شرایط و نمادهای قضیه ۳ برقرار باشد. در اینصورت خط مماس L نیمساز زاویه $\angle O_1 A_H O_2$ است.

اثبات: بدیهی است که t_1 و t_2 خطوط مماس بر کمان‌های $A_H M_{H_1}$ و $A_H M_{H_2}$ در نقطه A_H شرایط گفته شده را برآورده می‌کنند و $O_1 A_H \perp t_1$ و $O_2 A_H \perp t_2$. به این ترتیب حکم بدست می‌آید (شکل ۸ را ببینید). □

نتیجه ۳- با استفاده از نمادهای قضیه ۱ و نتیجه ۱، فرض کنید $A_H = (x(t), y(t))$ نقطه‌ای دلخواه از یال ورونوی

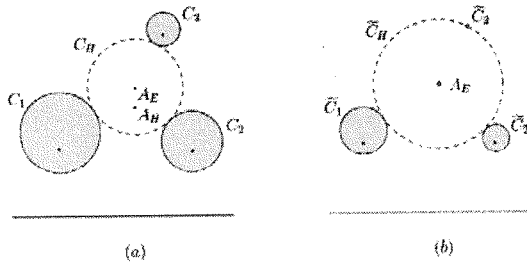
شد.

تعریف ۳: تبدیل موبیوس تابعی مانند $\hat{C} \rightarrow M: \hat{C}$ با ضابطه $M(z) = \frac{az+b}{cz+d}$ است که در آن $a, b, c, d \in \mathbb{C}$ و $ad - bc \neq 0$ و $\hat{C} = \mathbb{C} \cup \{\infty\}$.

ثابت می‌شود که تبدیل موبیوس M ، تبدیلی همدیس است (اندازه زوایا را حفظ می‌کند) و نقطه $z = -\frac{d}{c}$ را به بینهایت می‌فرستد که این مطلب در ادامه این مقاله به آسان شدن مسأله کمک می‌کند.

۳-۲-۱- رونس ورونوی

برای هر سه دایره هذلولوی دلخواه C_1, C_2, C_3 ، رأس ورونوی ما بین آنها مرکز هذلولوی دایره هذلولویی است که بر سه دایره C_1, C_2, C_3 مماس خارجی است (شکل ۱۰(a) را ببینید). این دایره را با C_H و مرکزش با A_H نمایش داده می‌شود.



شکل ۱۰: تغییر اندازه دایره مماسی.

بنا به قضیه ۱، C_H یک دایره اقلیدسی است و اگر C_1, C_2, C_3 نیز اقلیدسی در نظر گرفته شوند، C_H یک دایره اقلیدسی به مرکز A_E است که بر سه دایره اقلیدسی C_1, C_2, C_3 مماس خارجی است. پس با استفاده از روش زیر A_E بدست آورده می‌شود:

فرض کنید C_3 دایره‌ایست که کوچکترین شعاع را در بین شعاع‌های C_1, C_2, C_3 دارد و هر دایره C_i به مرکز $z_i = (x_i, y_i)$ و شعاع $r_i \geq 0$ بصورت $C_i = (z_i, r_i)$ نمایش داده شود. r_3 را از r_i کم نموده و دایره‌های حاصل را با \tilde{C}_i نمایش دهید $(\tilde{C}_i = (z_i, r_i - r_3))$. در نتیجه \tilde{C}_3 به نقطه z_3 تبدیل می‌شود (شکل ۱۰(b) را ببینید). بنابراین، با یافتن دایره \tilde{C}_H (دایره گذرنده از $\tilde{C}_3 = z_3$ و مماس بر دو دایره \tilde{C}_1 و \tilde{C}_2) و سپس با کسر r_3 از شعاع \tilde{C}_H براحتی دایره C_H که مماس بر سه دایره C_1, C_2, C_3 است بدست می‌آید. البته با توجه به اینکه چهار حالت برای مماس نمودن دایره‌ای به سه دایره C_1, C_2, C_3 وجود دارد، تنها حالت مطرح شده در شکل

$$\frac{y'}{x'} = \tan\left(\frac{\alpha_1 + \beta_2}{2}\right) = \frac{\tan \frac{\beta_2}{2} + \tan \frac{\alpha_1}{2}}{1 - \tan \frac{\beta_2}{2} \tan \frac{\alpha_1}{2}}$$

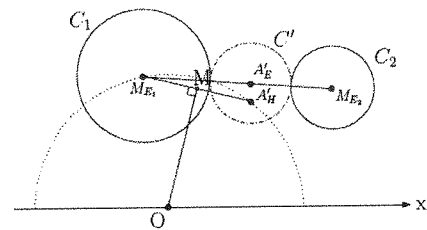
و در نتیجه رابطه (۱۹) بدست خواهد آمد:

$$y' - y' \tan \frac{\beta_2}{2} \tan \frac{\alpha_1}{2} = x' \tan \frac{\beta_2}{2} + x' \tan \frac{\alpha_1}{2} \quad (19)$$

حال با جایگزینی $\alpha_1, \alpha_1', \beta_1, \beta_1', \beta_2, \beta_2'$ برحسب x, y, x', y' در (۱۸) و (۱۹) دستگاه معادلاتی بصورت رابطه (۲۰) بدست می‌آید:

$$\begin{cases} \varphi(x, y, x', y') = 0 \\ \psi(x, y, x', y') = 0 \end{cases} \quad (20)$$

برای بدست آوردن شرایط اولیه دستگاه معادلات (۲۰)، نقطه A'_E واقع بر خط $M_{E_1}M_{E_2}$ (به فاصله اقلیدسی یکسان از C_1 و C_2) را در نظر گرفته و نقطه هذلولوی متناظر با A'_E بدست آورده می‌شود (A'_H مرکز هذلولوی دایره C' است). نقطه A'_H روی نیم دایره‌ای به مرکز O و شعاع OM_{E_1} است. برای بدست آوردن این نیم دایره تنها لازم است میانه اقلیدسی پاره خط $M_{E_1}A'_H$ را پیدا نموده (نقطه M)، سپس با رسم عمود منصف $M_{E_1}A'_H$ از نقطه M و پیدا کردن نقطه تقاطع آن با محور x ، نقطه O مورد نظر بدست می‌آید (شکل ۹ را ببینید).



شکل ۹: یافتن شرایط اولیه دستگاه معادلات (۲۰).

به دلیل معلوم بودن $x'(0) = x_0$ و $y'(0) = y_0$ ، دستگاه معادلات (۱۲) با شرایط اولیه $\begin{cases} x(0) = x_0 \\ y(0) = y_0 \end{cases}$ و $\begin{cases} x'(0) = x'_0 \\ y'(0) = y'_0 \end{cases}$ به طور یکتا دارای جواب است که همان یال ورونوی بین C_1 و C_2 است.

۳-۲- نمودار ورونوی سه و یا بیشتر دایره هذلولوی

در حالت سه و یا بیشتر دایره هذلولوی، به غیر از یال ورونوی، رأس ورونوی نیز پدیدار می‌شود. در این قسمت به طور موضعی برای هر سه دایره هذلولوی رأس ورونوی را محاسبه نموده و پس از آن یال‌های ورونوی محاسبه می‌گردند. مطالب عنوان شده تعمیمی از روش استفاده شده در مرجع [۷] هستند. قبل از پرداختن به مسأله، لازم است با تعریف تبدیل موبیوس که در ادامه از آن استفاده می‌شود آشنا

تبدیل $W(z)$ بر آن به دایره مماسی مورد نظر در صفحه Z_H می‌رسد، از روش بیان شده در [V] استفاده می‌گردد اکنون که مماس خارجی صحیح دایره W_1 و W_2 مشخص شد خواننده پراحتی می‌تواند به محاسبه آن بپردازد (در اینجا به دلیل محدودیت فضا از محاسبه آن خودداری شده است).

با محاسبه، وارون تبدیل مویبوس $W(z)$ عبارتست از: $Z(w) = \frac{1}{w} + z_3$. این تبدیلی همدیس است که خطوط ناگذرنده از مبدأ صفحه W_H را به دایره‌هایی در صفحه Z_H می‌نگارد. فرض کنید $au + bv + 1 = 0$ معادله خط مماس خارجی دو دایره W_1 و W_2 باشد. در اینصورت، وارون آن در صفحه Z_H دایره \widetilde{C}_H گفته شده به مرکز $(-\frac{a}{2} + x_3, \frac{b}{2} + y_3)$ و شعاع $\frac{\sqrt{a^2 + b^2}}{2}$ است. بنابراین با نمادهای شکل ۱۰:

$$(\widetilde{C}_H \text{ مرکز اقلیدسی}) A_E = (-\frac{a}{2} + x_3, \frac{b}{2} + y_3)$$

$$(\widetilde{C}_H \text{ شعاع اقلیدسی}) r_E = \frac{\sqrt{a^2 + b^2}}{2}$$

و در پایان با استفاده از (۴) مرکز هذلولوی دایره C_H بدست

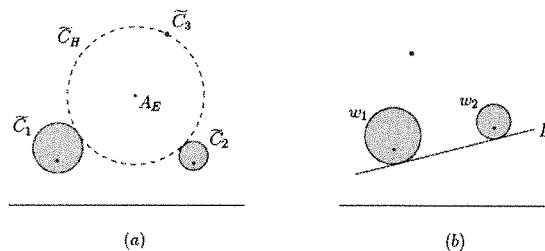
$$A_H = (-\frac{a}{2} + x_3, \sqrt{(\frac{b}{2} + y_3)^2 - \frac{a^2 + b^2}{4}})$$

و A_H رأس ورونوی بین سه دایره هذلولوی C_1, C_2 و C_3 است. توجه کنید که درستی روش یاد شده به دلیل اینست که با کم نمودن مقدار r_3 از شعاع سه دایره C_1, C_2 و C_3 ، به شعاع دایره C_H مقدار r_3 اضافه می‌شود و به این ترتیب مکان نقطه A_H و A_E بدون تغییر باقی می‌ماند. همچنین چون تبدیل $W(z)$ مویبوس است و چون \widetilde{C}_H از نقطه Z_3 می‌گذرد، تحت $\widetilde{C}_H, W(z)$ به خط L تبدیل می‌شود. به دلیل همدیس بودن $W(z)$ ، دایره‌های W_1 و W_2 به خط L مماس‌اند. $Z(w)$ نیز تبدیلی مویبوس است، پس تحت آن L به دایره \widetilde{C}_H که مماس بر \widetilde{C}_1 و \widetilde{C}_2 است، نگاشته می‌شود و با اضافه کردن مقدار r_3 به شعاع‌های \widetilde{C}_1 و \widetilde{C}_2 و به نقطه Z_3 ، سه دایره C_1, C_2 و C_3 اولیه بدست می‌آیند.

۳-۲-۲- یالهای ورونوی

محاسبه یالهای ورونوی مجموعه دایره‌های هذلولوی مشابه حالت اقلیدسی است. روش استفاده شده بر پایه استفاده از خمهای بزیر درجه دو است. در اینجا برای راحتی خواننده خلاصه‌ای از این روش آورده شده است و در [V] به طور کامل روش محاسبه یال‌های ورونوی در حالت اقلیدسی بیان

۱۰ در نظر گرفته می‌شود. حال از تبدیل مویبوس $W(z) = \frac{1}{z - z_3}$ استفاده می‌شود. با این تبدیل، \widetilde{C}_1 و \widetilde{C}_2 واقع در صفحه Z_H ، به دایره‌های W_1 و W_2 در صفحه W_H تبدیل می‌گردند (شکل ۱۱ را ببینید). همچنین به دلیل همدیس بودن تبدیل $W(z)$ و گذشتن \widetilde{C}_H از نقطه Z_3 ، دایره \widetilde{C}_H تبدیل به خط L ، خط مماس بر دو دایره W_1 و W_2 می‌گردد. زیرا تبدیل $W(z)$ نقطه Z_3 را به بینهایت می‌فرستد.



شکل ۱۱: اثر تبدیل مویبوس $W(z) = \frac{1}{z - z_3}$ بر شکل (a)

توجه شود نقاط واقع در بینهایت و نقاط خارج از دایره \widetilde{C}_H واقع در صفحه Z_H ، هر دو خارج دایره مماسی \widetilde{C}_H قرار دارند. بنابراین نقاطی از صفحه W_H که تصویر نقاط خارج از \widetilde{C}_H تحت تبدیل $W(z)$ هستند و نیز مبدأ O (از صفحه W_H) بایستی در یک طرف خط L قرار داشته باشند. در واقع، تمام نقاط تصویری از جمله نقطه O در یک طرف خط L قرار دارند. دیده شد که تحت تبدیل $W(z)$ دایره‌های $\widetilde{C}_i = (z_i, r_i - r_3)$ به دایره‌های رابطه (۲۱):

$$W_i = \left\{ \left(\frac{x_i - x_3}{p_i}, -\frac{y_i - y_3}{p_i}, \frac{r_i - r_3}{p_i} \right) \right\} \quad (21)$$

تبدیل می‌شوند که در آن

$$p_i = (x_i - x_3)^2 + (y_i - y_3)^2 - (r_i - r_3)^2$$

برای دایره‌های W_1 و W_2 در صفحه W_H ، حداکثر چهار خط مجزا به طور همزمان به هر دو دایره مماس‌اند که دو تا از آنها مماس خارجی به W_1 و W_2 هستند. آنها L_1 و L_2 نامیده می‌شوند. از بین خطوط L_1 و L_2 ، خطی که هر دو دایره W_1 و W_2 به همراه O (مبدأ مختصات صفحه W_H) در یک طرف آن قرار دارند جواب مسأله است زیرا با اثر معکوس تبدیل $W(z)$ بر آن دایره مماسی مورد نظر بدست می‌آید. توجه شود که یکی یا هر دو یا هیچکدام از دو مماس خارجی ممکن است جواب صحیح باشند و این بستگی به شکل مجموعه دایره‌های اولیه (ورودی) دارد.

برای تشخیص خط L (از بین L_1 و L_2) که با اثر وارون

شده است. یال‌های نمودار ورونوی در واقع بخشی از عمود منصف‌های هذلولوی بین دایره‌های هذلولوی هستند و به دلیل اینکه مقطع مخروطی‌اند، می‌توان آنها را با خم بزیر درجه دو تقریب زد که بصورت رابطه (۲۲) تعریف می‌شود:

$$\beta(t) = \frac{w_0(1-t)^2 b_0 + 2w_1 t(1-t) b_1 + w_2 t^2 b_2}{w_0(1-t)^2 + 2w_1 t(1-t) + w_2 t^2}, \quad t \in [0,1] \quad (22)$$

b_0, b_1, b_2 و نقاط کنترل و w_0, w_1, w_2 وزن‌های متناظرشان هستند. از طرفی هر مقطع مخروطی را در صورتی که دو نقطه b_0 و b_2 روی خم، و دو بردار مماس بر خم در نقاط b_0 و b_2 ، و نقطه‌ای دیگر از خم مثل p معلوم باشد، می‌توان بصورت خم بزیر درجه دو $\beta(t)$ نمایش داد. به دلیل اینکه $\beta(t)$ خم بزیر درجه دو است، b_0 و b_2 باید اولین و سومین نقاط کنترل خم بزیر باشند. دومین نقطه کنترل یعنی b_1 همان نقطه تقاطع خطوط مماس بر خم در b_0 و b_2 است ([۵] را ببینید). می‌توان فرض کرد که مقطع مخروطی به شکل استاندارد است، یعنی: $w_0 = w_2 = 1$. در اینصورت w_1 توسط رابطه (۲۳) بدست می‌آید:

$$w_1 = \frac{\tau_1}{2\sqrt{\tau_0 \tau_2}} \quad (23)$$

که در آن τ_0, τ_1, τ_2 مختصات مرکز ثقل نقطه p هستند. در این مقاله وضعیت مکانی دو رأس از یک یال ورونوی هذلولوی نقش نقاط کنترل b_0 و b_2 را بازی می‌کنند. برای محاسبه نقطه کنترل دیگر یعنی b_1 ، نیازمند یافتن بردارهای مماس بر عمود منصف در b_0 و b_2 است. فرض کنید دو دایره C_1 و C_2 مانند شکل ۷(a) داده شده باشند. فرض کنید A_H نقطه‌ای دلخواه از عمود منصف هذلولوی آنها که کمانی از هذلولوی با کانونهای M_{H_1} و M_{H_2} در نیم صفحه بالایی \mathbb{H}^2 است، باشد. فرض کنید خط L نیمساز زاویه $\angle M_{H_1} A_H M_{H_2}$ باشد. بنا به قضیه ۳، خط مماس بر عمود منصف در نقطه A_H است. بنابراین، خط مماس بر عمود منصف در رأس ورونوی هذلولوی A_H با محاسبه نیمساز زاویه $\angle M_{H_1} A_H M_{H_2}$ بدست می‌آید. تنها مطلب باقیمانده محاسبه نقطه p گفته شده است که عمود منصف از آن می‌گذرد. تنها لازم است آن را نقطه‌ای روی ژئودزیک گذرنده از مرکز دو دایره در نظر گرفت، که به فاصله هذلولوی یکسان از دو دایره است.

به این ترتیب با استفاده از روش یاد شده در ۲-۳ و ۱-۳ و ۲-۲ به طور موضعی برای هر سه دایره رأس ورونوی و برای هر دو رأس ورونوی، یال ورونوی متصل کننده آنها بدست

می‌آید. با اجرای این روش برای هر سه دایره نزدیک به یکدیگر، نمودار ورونوی دایره‌های هذلولوی بدست می‌آید. همانطور که گفته شد، روش استفاده شده بر پایه روش [۷] است و چون زمان اجرای آن $O(n^2)$ برای n دایره است، در اینجا نیز به دلیل اینکه استفاده از کاستن مقدار r_3 از شعاع‌های C_1 و C_2 ، و استفاده از تبدیل موبیوس $W(z)$ و وارون عملیات یاد شده در زمان ثابت انجام می‌شوند، زمان اجرای روش $O(n^2)$ است.

۴- نتیجه

در این مقاله برای یک مجموعه از دایره‌های هذلولوی در \mathbb{H}^2 ، به طور موضعی به محاسبه روس و یال‌های ورونوی اشاره شد. بطور مشابه می‌توان روش یاد شده را گسترش داد و به طور موضعی روس، یال‌ها و وجه‌های ورونوی کره‌های هذلولوی در \mathbb{H}^3 (نیم فضای بالایی هذلولوی) را بدست آورد.

۵- مراجع

- [۱] J. W. Anderson, "Hyperbolic Geometry", Springer Verlag, 1999.
- [۲] B. Angelov, J-F. Sadoc, R. Jullien, A. Soter, J-P. Mornon and J. Chomilier, "Nonatomic solvent-driven Voronoi tessellation of proteins: an open tool to analyze protein folds", Proteins: Struct Funct Genet 49(4), pp. 446-456, 2002.
- [۳] F. Aurenhammer, "Voronoi Diagrams: a Survey of a Fundamental Geometric Data Structure", ACM Computing Surveys 23(3), pp. 345-405, 1991.
- [۴] G. Farin, "Curves and Surfaces for Computer-Aided Geometric Design: A Practical Guide", 4th edition, Academic Press, San Diego, 1996.
- [۵] A. Goede, R. Preissner and C. Frömmel, "Voronoi cell: new method for allocation of space among atoms: elimination of avoidable errors in calculation of atomic volume and density", J Comput Chem, 18(9), pp. 1113-1123, 1997.
- [۶] D-S. Kim, D. Kim and K. Sugihara, "Voronoi diagram of a circle set from Voronoi diagram of a point set: I. Topology", Computer Aided Geometric Design 18(6), pp. 541-562, 2001.
- [۷] D-S. Kim, D. Kim and K. Sugihara, "Voronoi diagram of a circle set from Voronoi diagram of a point set: II. Geometry", Computer Aided Geometric Design 18(6), pp. 563-585, 2001.
- [۸] G. Kumaresan and S. Santhanam, "An Expedition to Geometry", Hindustan Book Agency (India), 2005.

- M. I. Shamos and D. Hoey, "Closest-Point problems", [۱۳]
 In Proceedings 16th IEEE Symposium on
 foundations of Computer Science, pp. 151-162, 1975.
- S. Stahl, "The Poincaré Half-plane: A gate way to [۱۴]
 Modern Geometry", Jones and Bartlett Publisher,
 1993.
- K. Sugihara, M. Sawai, H. Sano, D-S. Kim and D. [۱۵]
 Kim, "Disk packing for the estimation of the size of a
 wire bundle", Jpn J Ind Appl Math 21(3), pp. 259-
 278, 2004.
- W. P. Thurston, "Three dimensional Geometry and [۱۶]
 Topology", Princeton University Press, 1997.
- J. C. G. Montoro and J. L. F. Abascal, "The Voronoi [۹]
 polyhedra as tools for structure determination in simple
 disordered systems", J Phys Chem, 97(16), pp. 4211-
 4215, 1993.
- Z. Nilforoushan and A. Mohades, "Hyperbolic Voronoi [۱۰]
 Diagram", ICCSA 2006, LNCS 3984, pp. 735-742,
 2006.
- A. Okabe, B. Boots, K. Sugihara, and S. N. Chiu, [۱۱]
 "Spatial Tessellations: Concepts and Applications of
 Voronoi Diagrams", Wiley Series in Probability and
 Statistics, 2000.
- A. Ramsay and R. D. Richtmyer, "Introduction to [۱۲]
 Hyperbolic Geometry", Springer Verlag, 1995.